

EAIiB Informatyka	Aleksander Lisiecki Natalia Materek	Rok II	Grupa 2	Zespół 6
Pracownia FIZYCZNA WFIS AGH	Temat: Wahadło fizyczne			Nr ćwiczenia: 1
Data wykonania: 12.11.2016	Data oddania: 14.12.2016	Zwrot do poprawki:	Data oddania:	Data zaliczenia:
OCENA:				

Ćwiczenie nr 1: Wahadło fizyczne

Cel ćwiczenia

Opis ruchu drgającego, a w szczególności drgań wahadła fizycznego. Wyznaczenie momentów bezwładności brył sztywnych.

1 Wstęp teoretyczny

Dla układu oddzielnych cząstek moment bezwładności ciała zdefiniowany jest jako:

$$I = \sum m_i r_i^2 \quad (1)$$

gdzie

m_i masa i- tego punktu [kg]

r_i odległość i- tego elementu od osi obrotu [m]

a dla ciała o ciągłym rozkładzie masy jako:

$$I = \int r^2 dm \quad (2)$$

gdzie

r odległość elementów ciała od osi obrotu [m]

Wahadło fizyczne jest to bryła sztywna o masie m zawieszona w punkcie O różnym od środka ciężkości. Wahadło odchylone od pionu o kąt θ , a następnie puszczone swobodnie będzie wykonywać pod wpływem momentu siły ciężkości drgania zwane ruchem wahadłowym. Moment tej siły dla wychylenia θ jest równy $mg \sin \theta$. Ruch ten opisuje II zasada dynamiki dla ruchu obrotowego, zgodnie z którą iloczyn momentu bezwładności I i przyspieszenia kąowego ε jest równy działającemu momentowi siły, czyli:

$$\varepsilon = \frac{d^2 \theta}{dt^2} \Rightarrow I_o \frac{d^2 \theta}{dt^2} = -mga \sin \theta \quad (3)$$

gdzie

ε przyspieszenie kąowe [$\frac{rad}{s^2}$]

θ kąt wychylenia od położenia równowagi

I_0 moment bezwładności bryły względem osi obrotu [$kg \cdot m^2$]

t czas [s]

m masa bryły [kg]

g przyspieszenie ziemskie $\left[\frac{m}{s^2}\right]$

a odległość osi obrotu od środka ciężkości $[m]$

Siła $mg\sin\theta$ jest zawsze skierowana przeciwnie do kierunku wychylenia - stąd znak minus we wzorze 3. Jeżeli rozpatrujemy ruch dla małych kątów wychylenia, to sinus kąta można zastąpić samym kątem w mierze łukowej, ponieważ $\sin\theta \approx \theta$. Zatem równanie 3 przyjmuje postać:

$$\frac{d^2\theta}{dt^2} + \frac{mga\theta}{I_o} = 0 \quad (4)$$

jest to równanie ruchu harmonicznego z okresem:

$$T = 2\pi\sqrt{\frac{I_o}{mga}} \quad (5)$$

gdzie

T okres drgań $[s]$

Twierdzenie Steinera mówi, że jeśli znamy moment bezwładności I_S danego ciała względem pewnej osi przechodzącej przez środek masy tego ciała, to aby obliczyć moment bezwładności I_0 względem dowolnej innej osi równoległej do niej, należy do momentu I_S dodać iloczyn masy ciała i kwadratu odległości a między tymi osiami:

$$I_0 = I_S + ma^2 \quad (6)$$

gdzie

I_0 moment bezwładności ciała względem innej osi równoległej do osi względem której wyznaczono I_s $[kg \cdot m^2]$

I_s moment bezwładności ciała względem osi przechodzącej przez środek masy ciała $[kg \cdot m^2]$

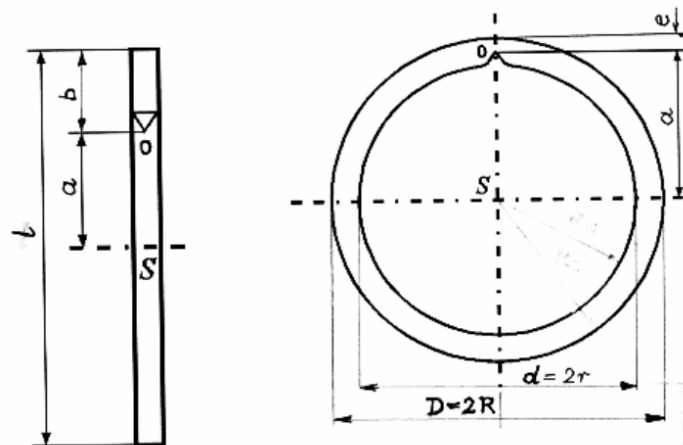
m masa ciała $[kg]$

a odległość między dwoma równoległymi osiami $[m]$

2 Opis układu pomiarowego

- Statyw, na którym zawiesza się badaną bryłę
- Badane bryły: pręt, pierścień
- Metalowy przymiar milimetrowy
- Suwmiarka
- Waga elektroniczna
- Sekundomierz

Rysunek 1: Pręt i pierścień używane w ćwiczeniu.



3 Przebieg doświadczenia

3.1 Pomiary mas i wymiarów pręta i pierścienia oraz wyznaczenie ich okresów drgań

1. Wyznaczenie masy pręta i pierścienia za pomocą wagi elektronicznej.
2. Mierzenie pręta i pierścienia wg instrukcji na rysunku 1.
3. Umieszczenie pręta na statywie i wprawienie go w ruch drgający o małej amplitudzie.
4. Przy użyciu stopera zmierzenie czasu dwudziestu pełnych drgań.
5. Powtórzenie czynności z punktu 4 dziesięciokrotnie.
6. Policzenie okresu dla pojedynczych prób (dzieląc wyniki przez 20).
7. Policzenie średniego okresu T_{sr} korzystając z wyznaczonych okresów pojedynczych prób.
8. Powtórzenie czynności od 3 do 7 dla pierścienia.

3.2 Opracowanie wyników pomiarów

Tablica 1: Pomiar masy i długości pręta.

	wartość	niepewność
$m[g]$	663	1
$l[mm]$	757	1
$b[mm]$	100	1
$a[mm]$	275	1

Tablica 2: Pomiar masy i długości pierścienia.

	wartość	niepewność
$m[g]$	1360	1
$D_W[mm]$	250	0,1
$D_Z[mm]$	280	1
$R_W[mm]$	125	0,1
$R_Z[mm]$	140	1
$e[mm]$	10	0,1
$a[mm]$	130	0,1

Tablica 3: Pomiar okresu drgań dla pręta.

Lp.	liczba okresów k	czas $t[s]$ dla k okresów	okres $T_i [s]$
1	20	26,73	1,337
2	20	26,98	1,349
3	20	26,73	1,337
4	20	26,83	1,342
5	20	26,95	1,348
6	20	26,67	1,334
7	20	26,77	1,339
8	20	26,80	1,359
9	20	26,67	1,334
10	20	26,80	1,340
Wartość średnia okresu: $T_{\text{sr}}: 1,342 [s]$			
Niepewność: $u(T_{\text{sr}}) \approx 0,002490 [s]$			

Tablica 4: Pomiar okresu drgań dla pierścienia.

Lp.	liczba okresów k	czas $t[s]$ dla k okresów	okres $T_i[s]$
1	20	20,71	1,036
2	20	20,37	1,019
3	20	19,79	0,9895
4	20	20,59	1,030
5	20	20,68	1,034
6	20	20,65	1,033
7	20	20,45	1,023
8	20	20,37	1,019
9	20	19,72	0,9860
10	20	19,99	0,9995
Wartość średnia okresu: $T_{\text{sr}}: 1,017 [s]$			
Niepewność: $u(T_{\text{sr}}) \approx 0,005908 [s]$			

3.3 Obliczenie momentu bezwładności

3.3.1 Obliczenie momentu bezwładności I_0 względem rzeczywistej osi obrotu korzystając z wzoru na okres drgań

Wzór na okres drgań wyraża się wzorem:

$$T = 2\pi \sqrt{\frac{I_0}{mga}} \quad (7)$$

Przekształcając odpowiednio powyższe równanie 7 otrzymujemy wzór na moment bezwładności:

$$I_0 = \frac{mgaT^2}{4\pi^2} \quad (8)$$

gdzie

m masa bryły $[kg]$

g przyspieszenie ziemskie $[\frac{m}{s^2}]$

T okres drgań $[s]$

a odległość środka masy od osi obrotu $[m]$

Moment bezwładności I_0 dla pręta:

$$I_0 = \frac{0,663 \cdot 9,811 \cdot 0,275 \cdot (1,342)^2}{4\pi^2} \approx 0,07793 [kg \cdot m^2] \quad (9)$$

Moment bezwładności I_0 dla pierścienia:

$$I_0 = \frac{1,36 \cdot 9,811 \cdot 0,13 \cdot (1,017)^2}{4\pi^2} \approx 0,04545 [kg \cdot m^2] \quad (10)$$

3.3.2 Obliczenie momentu bezwładności I_S względem osi przechodzącej przez środek masy korzystając z twierdzenia Steinera

Twierdzenie Steinera stosuje się do obliczania momentu bezwładności bryły względem osi przesuniętej równolegle o długość a , gdzie I_S to moment bezwładności względem osi przechodzącej przez środek masy bryły.

$$I_0 = I_S + ma^2 I_S = I_0 - ma^2 \quad (11)$$

Moment bezwładności I_S dla pręta:

$$I_S = 0,07793 - 0,663 \cdot (0,275)^2 \approx 0,03006 [kg \cdot m^2] \quad (12)$$

Moment bezwładności I_S dla pierścienia:

$$I_S = 0,04545 - 1,36 \cdot (0,13)^2 \approx 0,02298 [kg \cdot m^2] \quad (13)$$

3.3.3 Moment bezwładności względem osi przechodzącej przez środek masy $I_S^{(geom)}$ na podstawie masy i wymiarów geometrycznych

Moment bezwładności większości regularnych brył można zapisać w postaci:

$$I_S^{(geom)} = k \cdot m \cdot l \quad (14)$$

gdzie

m masa bryły $[kg]$

l charakterystyczny wymiar bryły (np. długość, promień) $[m]$

k bezwymiarowy współczynnik zależny tylko od kształtu bryły i wyboru charakterystycznego wymiaru (np. promień czy średnica), a niezależny od wielkości bryły.

Moment bezwładności $I_S^{(geom)}$ dla pręta:

$$I_S^{(geom)} = \frac{1}{12}ml^2 \quad (15)$$

$$I_S^{(geom)} = \frac{1}{12} \cdot 0,663 \cdot (0,757)^2 \approx 0,03627 \text{ } [kg \cdot m^2] \quad (16)$$

Moment bezwładności $I_S^{(geom)}$ dla pierścienia:

$$I_S^{(geom)} = \frac{1}{12}m(R^2 + r^2) \quad (17)$$

$$I_S^{(geom)} = \frac{1}{12} \cdot 1,360 \cdot ((0,140)^2 + (0,125)^2) \approx 0,02396 \text{ } [kg \cdot m^2] \quad (18)$$

4 Wyznaczenie niepewności mierzonych wielkości

4.1 Niepewność pomiaru okresu – niepewność typu A

Wzór na niepewność pomiaru $u(T)$:

$$u(T) = \frac{\sqrt{\frac{\sum(T_i - T_{sr})^2}{n-1}}}{\sqrt{n}} = \sqrt{\frac{\sum(T_i - \bar{T})^2}{n(n-1)}} \quad (19)$$

gdzie

n liczba pomiarów

T_{sr} średni czas trwania okresu $[s]$

Niepewność pomiaru okresu dla pręta:

$$u(T) = \sqrt{\frac{(1,337 - 1,342)^2 + \dots + (1,340 - 1,342)^2}{10(10-1)}} \quad (20)$$

$$u(T) \approx 0,002490[s]$$

Niepewność pomiaru okresu dla pierścienia:

$$u(T) = \sqrt{\frac{(1,036 - 1,017)^2 + \dots + (0,995 - 1,017)^2}{10(10-1)}} \quad (21)$$

$$u(T) \approx 0,005908[s]$$

4.2 Niepewność pomiaru masy

Do określenia masy pręta i pierścienia posłużyła nam waga cyfrowa o dokładności $0,001kg$, więc $u(m) = 1g$.

4.3 Niepewność pomiaru wymiarów geometrycznych

W pomiarze pręta przyjmujemy niepewność równą działce elementarnej linijki $u(l) = 1mm$, $u(a) = 1mm$, $u(b) = 1mm$. Zewnętrzny promień pierścienia został wyznaczony za pomocą linijki więc $u(D_Z) = 1mm$ i $u(R_Z) = 1mm$. Wewnętrzny promień został wyznaczony na podstawie zewnętrznego promienia i suwmiarki, której dokładność wynosiła $0,1mm$ zatem $u(D_W) = 0,1mm$ i $u(R_W) = 0,1mm$. Długości tj e i a zostały wyznaczone z pomocą suwmiarki więc $u(e) = 0,1mm$, $u(a) = 0,1mm$.

4.4 Niepewność złożona momentów bezwładności

4.4.1 Niepewność złożona momentu bezwładności I_0

Wzór z którego korzystamy:

$$\frac{u(I_0)}{I_0} = \sqrt{\left(\frac{u(m)}{m}\right)^2 + \left(\frac{u(a)}{a}\right)^2 + \left(2 \cdot \frac{u(T)}{T}\right)^2} \quad (22)$$

gdzie

$u(I_0)$ niepewność pomiaru momentu bezwładności względem rzeczywistej osi obrotu

I_0 moment bezwładności względem rzeczywistej osi obrotu $[kg \cdot m^2]$

$u(m)$ niepewność pomiaru masy

$u(a)$ niepewność pomiaru odległości od środka ciężkości

$u(T)$ niepewność pomiaru okresu drgań

m masa ciała $[kg]$

a odległość od środka ciężkości $[m]$

Niepewność złożona momentu bezwładności I_0 dla pręta:

$$\frac{u(I_0)}{I_0} = \sqrt{\left(\frac{0,001}{0,663}\right)^2 + \left(\frac{0,001}{0,275}\right)^2 + \left(2 \cdot \frac{0,00249}{1,342}\right)^2} \approx 0,005410 [kg \cdot m^2] \quad (23)$$

$$u(I_0) \approx 0,0004216 [kg \cdot m^2]$$

Niepewność złożona momentu bezwładności I_0 dla pierścienia:

$$\frac{u(I_0)}{I_0} = \sqrt{\left(\frac{0,001}{1,360}\right)^2 + \left(\frac{0,00001}{0,130}\right)^2 + \left(2 \cdot \frac{0,005908}{1,017}\right)^2} \approx 0,01167 [kg \cdot m^2] \quad (24)$$

$$u(I_0) \approx 0,0005303 [kg \cdot m^2]$$

4.4.2 Niepewność złożona momentu bezwładności I_S

Wzór z którego korzystamy:

$$u(I_S) = \sqrt{(u(I_0))^2 + (a^2 u(m))^2 + (-2amu(m))^2} \quad (25)$$

gdzie

I_S moment bezwładności względem osi przechodzącej przez środek masy obliczony z wykorzystaniem twierdzenia Steinera $[kg \cdot m^2]$

$u(I_S)$ niepewność momentu bezwładności względem osi przechodzącej przez środek masy obliczony z wykorzystaniem twierdzenia Steinera

Niepewność złożona momentu bezwładności I_S dla pręta:

$$u(I_S) = \sqrt{(0,0004216)^2 + (0,275)^2 \cdot (0,001)^2 + (-2 \cdot 0,0,275 \cdot 0,0,663 \cdot 0,001)^2} \approx 0, \dots [kg \cdot m^2] \quad (26)$$

Niepewność złożona momentu bezwładności I_S dla pierścienia:

$$u(I_S) = \sqrt{(0,0005303)^2 + (0,130)^2 \cdot (0,0,001)^2 + (-2 \cdot 0,130 \cdot 1,360 \cdot 0,001)^2} \approx 0, \dots [kg \cdot m^2] \quad (27)$$

4.4.3 Niepewność złożona momentu bezwładności I_S^{geom}

Niepewność złożona momentu bezwładności I_S^{geom} dla pręta:

$$u(I_S^{\text{geom}}) = \sqrt{\left(\frac{l^2}{12} \cdot u(m)\right)^2 + \left(\frac{2lm}{12} \cdot u(l)\right)^2} \approx 0, \dots [kg \cdot m^2] \quad (28)$$

gdzie

I_S^{geom} moment bezwładności względem osi przechodzącej przez środek masy na podstawie masy i wymiarów geometrycznych ciała $[kg \cdot m^2]$

$u(I_S^{\text{geom}})$ niepewność momentu bezwładności względem osi przechodzącej przez środek masy na podstawie masy i wymiarów geometrycznych ciała

Niepewność złożona momentu bezwładności I_S^{geom} dla pierścienia:

$$u(I_S^{\text{geom}}) = \sqrt{\left(\frac{R_z^2 + R_w^2}{2} \cdot u(m)\right)^2 + (mR_z \cdot u(R_z))^2 + (mR_w \cdot u(R_w))^2} \approx 0, \dots [kg \cdot m^2] \quad (29)$$

Tabela 5: Wyniki obliczeń momentu bezwładności dla pręta.

	I_0 wyznaczone z okresu drgań $[kg \cdot m^2]$	I_S wyznaczone z twierdzenia Steinera $[kg \cdot m^2]$	I_S^{geom} wyznaczone z pomiarów geometrycznych $[kg \cdot m^2]$
wartość	0,08084(40)	0,...	0,...
niepewność	0,00040	0,...	0,...

4.5 Porównanie metod wyznaczenia momentu bezwładności

Na podstawie wartości z tabel 5 i 6 można stwierdzić, że dokładniejsze wartości momentu bezwładności uzyskuje się poprzez pomiary wymiarów geometrycznych, ponieważ niepewności pomiarów są mniejsze.

Tablica 6: Wyniki obliczeń momentu bezwładności dla pierścienia.

	I_0 wyznaczone z okresu drgań [kg · m ²]	I_S wyznaczone z twierdzenia Steinera [kg · m ²]	I_S^{geom} wyznaczone z pomiarów geometrycznych [kg · m ²]
wartość	0,...	0,...	0,024472(58)
niepewność	0,...	0,00037	0,...

4.6 Zgodność wyników pomiaru w granicach niepewności rozszerzonej

Aby wyniki były zgodne w granicach niepewności rozszerzonej to

$$|I_S - I_S^{\text{geom}}| < U(I_S - I_S^{\text{geom}}) \quad (30)$$

gdzie

I_S

I_S^{geom}

$U(I_S)$

$$U(I_S - I_S^{\text{geom}}) = k \cdot \sqrt{(u(I_S))^2 + (u(I_S^{\text{geom}}))^2} \quad (31)$$

gdzie

k współczynnik rozszerzalności równy 2

Zgodność wyników pomiaru w granicach niepewności rozszerzonej dla pręta:

$$U(I_S - I_S^{\text{geom}}) \approx 0, \dots [\text{kg} \cdot \text{m}^2]$$

$$|I_S - I_S^{\text{geom}}| \approx 0, \dots [\text{kg} \cdot \text{m}^2]$$

Wyniki pomiarów uznajemy za zgodne ze sobą, ponieważ:

$$0, \dots < 0, \dots$$

$$|I_S - I_S^{\text{geom}}| < U(I_S - I_S^{\text{geom}})$$

Zgodność wyników pomiaru w granicach niepewności rozszerzonej dla pierścienia:

$$U(I_S - I_S^{\text{geom}}) \approx 0, \dots [\text{kg} \cdot \text{m}^2]$$

$$|I_S - I_S^{\text{geom}}| \approx 0, \dots [\text{kg} \cdot \text{m}^2]$$

Wyniki pomiarów uznajemy za zgodne / niezgodne ze sobą, ponieważ:

$$0, \dots < 0, \dots$$

$$|I_S - I_S^{\text{geom}}| < U(I_S - I_{\text{geom}})$$

5 Wnioski

- Doświadczenie zostało przeprowadzone prawidłowo, wyniki pomiarów mieszczą się w granicach niepewności rozszerzonej zarówno dla pręta, jak i dla pierścienia.
- Dokładniejszym sposobem wyznaczania momentu bezwładności bryły jest skorzystanie z zależności geometrycznych zamiast z twierdzenia Steinera.
- Twierdzenie Steinera pozwala nam obliczyć momenty bezwładności wobec osi których nie możemy wyliczyć doświadczalnie.